

ИЗВЕСТИЯ  
ТОМСКОГО ОРДЕНА ОКТЯБРЬСКОЙ РЕВОЛЮЦИИ И ОРДЕНА  
ТРУДОВОГО КРАСНОГО ЗНАМЕНИ ПОЛИТЕХНИЧЕСКОГО  
ИНСТИТУТА имени С. М. КИРОВА

---

Том 235

1973

**НЕКОТОРЫЕ ВОПРОСЫ ВЫБОРА ОПТИМАЛЬНЫХ  
ГЕОМЕТРИЧЕСКИХ РАЗМЕРОВ ЦИЛИНДРИЧЕСКИХ  
КОЛЛИМАТОРОВ ДЛЯ СПЕКТРОМЕТРИРОВАНИЯ СИЛЬНЫХ  
ПРОТЯЖЕННЫХ  $\gamma$ -ИСТОЧНИКОВ**

В. М. КАНЦЕЛЯРСКИЙ, Л. Н. ЛАЗАРЕВ, И. Г. МИНАЕВ, Н. И. СУШКО,  
В. И. ШУЛЕВ

**Введение**

Коллимацию гамма-излучения применяют обычно для получения спектра, удобного для обработки. В таком случае источник гамма-излучения имеет точечную геометрию. Коллиматор препятствует попаданию рассеянных  $\gamma$ -квантов на детектор, и спектр имеет более или менее равномерное комптоновское распределение, тогда как отсутствие коллиматора вызовет резкое возрастание спектра в области 100  $\div$  200 кэв, на фоне которого фотопики невозможно будет обнаружить.

Если источник гамма-квантов имеет достаточные размеры, чтобы нельзя было его считать точечным, коллиматор помимо той роли, которая указывалась выше, возможно применять для выделения некоторой части объема источника с целью определения общей активности всего объема (если активность распределена равномерно, то потребуется одно измерение), а также распределения активности по объему.

**Конструкции коллиматоров**

Если допустить, что материал коллиматора непроницаем для гамма-квантов, то проблема выбора коллиматора определяется лишь геометрическими факторами (1). Основная характеристика такого коллиматора — геометрическая эффективность —  $G$ . Она определяется как отношение числа квантов, проходящих через канал коллиматора, к числу квантов, излучаемых точечным источником, находящимся на его оси на некотором расстоянии  $L$ . Для одноканального цилиндрического или конического коллиматора геометрическую эффективность можно определить, исходя из размеров коллиматора и расстояния  $L$  по формуле [1]:

$$G = \left[ \frac{d}{4(L + b)} \right]^2, \quad (1)$$

где  $d$  — диаметр канала коллиматора;

$b$  — толщина коллиматора;

$L$  — расстояние от источника до торца коллиматора.

(Все размеры выражаются в одиних и тех же единицах).

Однако при выборе коллиматора нельзя руководствоваться одними геометрическими факторами. Большую роль играет краевой эффект коллиматора, т. е. когда гамма-кванты проходят через материал колли-

матора преимущественно по краям. Этот эффект характеризуется проницаемостью коллиматора, которая определяется

$$P = \frac{N_{\text{общ}} - N_0}{N_0}, \quad (2)$$

где  $P$  — проницаемость коллиматора;

$N_{\text{общ}}$  — число гамма-квантов, попадающих на детектор;

$N_0$  — число гамма-квантов, попадающих на детектор только через канал коллиматора.

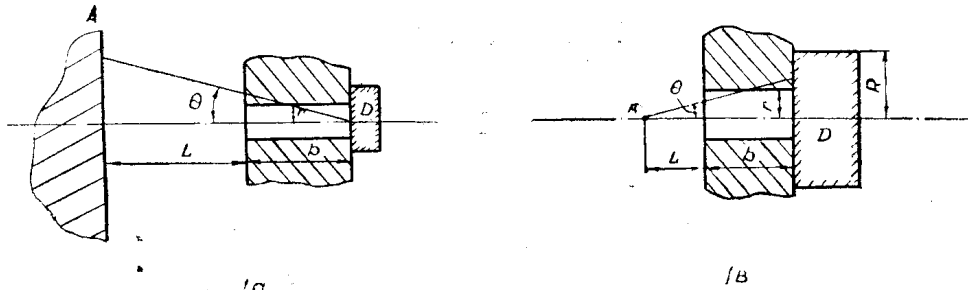


Рис. 1.

Если выразить число гамма-квантов через плотность их на единицу телесного угла, то проницаемость выразится:

$$P = \frac{\Omega_{\text{эфф}} - \Omega_0}{\Omega_0}, \quad (3)$$

где  $\Omega_{\text{эфф}}$  — эффективный телесный угол коллиматора;

$\Omega_0$  — оптический телесный угол коллиматора;

На рис. 1 приведены два случая применения коллиматора, о которых говорилось выше.

В случае 1a проницаемость выражается формулой

$$P = \frac{\int_{\frac{\pi}{2}}^{\arctg \frac{r}{b}} \sin \Theta e^{-\mu \left( \frac{b}{\cos \Theta} - \frac{r}{\sin \Theta} \right)} d\Theta}{1 - \cos \left( \arctg \frac{r}{b} \right)}. \quad (4)$$

(При  $r \ll L$  детектор „D“ можно считать точечным).

$\mu$  — линейный коэффициент ослабления материала. Остальные параметры изображены на рис. 1.

В случае 1b проницаемость выразится

$$P = \frac{\int_{\arctg \frac{r}{b}}^{\frac{\pi}{2}} \sin \Theta e^{-\mu \left( \frac{b+L}{\cos \Theta} - \frac{r}{\sin \Theta} \right)} d\Theta}{1 - \cos \left( \arctg \frac{r}{b+L} \right)}, \quad (5)$$

где  $R$  — радиус детектора. Формула (5) справедлива для случая, при котором  $L$  сравнимо по величине с  $r$ .

Результаты расчетов величины проницаемости  $P$ , определяемой формулой (4), выполнены на вычислительной машине «Урал-1», представлены в табл. 1.

Таблица 1

$E_{M\theta\delta}$	$\frac{\nu c_M}{pb} - 1$	$b$		5	7	9	11	13	15	17	19	20	39	41
		$r$	$b$											
0,36	3,03	0,2 0,4 1,0	0,17 0,17 0,16	0,12 0,11 0,11	0,11 0,09 0,09	0,07 0,07 0,07							0,04 0,04 0,04	
0,5	1,72	0,2 0,4 1,0	0,44 0,40 0,33	0,24 0,23 0,22	0,17 0,16 0,16								0,06 0,06 0,05	
0,6	1,35	0,2 0,4 1,0	0,81 0,64 0,48	0,37 0,35 0,31	0,24 0,23 0,22	0,19 0,20 0,20							0,07 0,07 0,07	
0,8	0,98	0,2 0,4 1,0	2,02 1,26 0,89	0,89 0,68 0,56	0,46 0,41 0,37	0,28 0,27 0,27	0,24 0,22 0,22	0,21 0,18 0,18	0,17 0,16 0,16				0,054 0,053 0,048	
1,0	0,8	0,2 0,4 1,0	3,53 1,91 1,3	1,74 1,12 0,84	0,86 0,66 0,55	0,49 0,42 0,38	0,33 0,30 0,29	0,27 0,24 0,25	0,24 0,20 0,26	0,19 0,18 0,18	0,18 0,17 0,17		0,07 0,066 0,056	
1,5	0,59	0,2 0,4 1,0	7,29 4,62 2,27	4,65 3,06 1,6	2,63 1,82 1,1	1,45 1,08 0,75	0,84 0,67 0,53	0,54 0,46 0,41	0,39 0,34 0,33	0,32 0,28 0,27	0,28 0,25 0,25		0,095 0,09 0,07	

Из таблицы видно, что проницаемость коллиматора резко спадает с увеличением длины свинцового коллиматора до  $17 \div 20$  см для максимального значения энергии гамма-квантов 1,5 мэв. Радиус коллиматора слабее влияет на проницаемость в пределах  $0,2 \div 1$  см, особенно для вышеуказанных длин. Таким образом, выбор коллиматора определяется в основном оптимальной его длиной, когда проницаемость не превышает величины 0,2—0,3.

При этой длине можно задаваться любым радиусом коллиматора для выбора нужного значения геометрической эффективности.

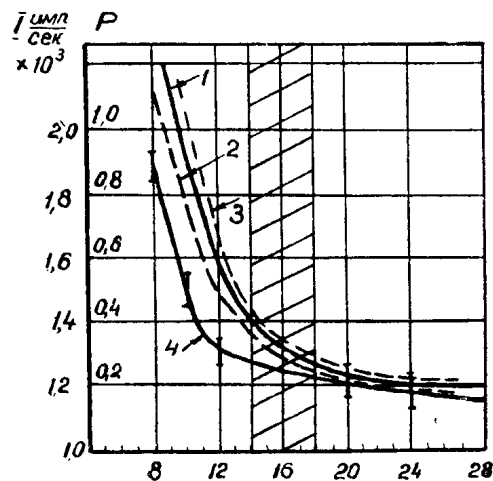


Рис. 2.

при  $L = 0$ , и если взять  $R$  значительно больше  $r$ , то формулы можно считать почти одинаковыми, так как подынтегральная функция спадает очень быстро. Для эксперимента выбираем случай 1 в

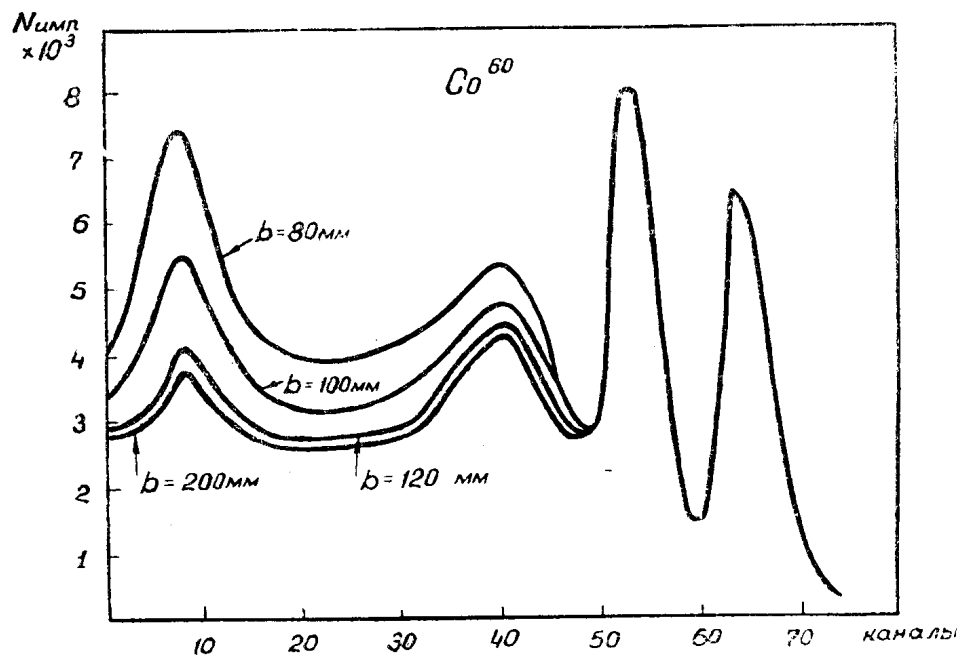


Рис. 3.

при вышеописанных условиях ( $L = 0$  2  $r = 8$  мм 2  $R = 40$  мм), так как случай 1 а осуществить в лабораторных условиях очень трудно. Толщину коллиматора  $b$  меняем от 8 до 28 см с интервалом 4 см.

В качестве источника применяем  $\text{Co}^{60}$ ; детектором служит кристалл  $\text{NaI}(\text{Tl})$   $40 \times 30$  мм. На рис. 2 приведены ход кривой интенсивности (кривая 4) спектрометра и расчетные значения проницаемости в зависимости от толщины коллиматора (кривая 1 рассчитана для средней энергии  $\text{Co}^{60}$  — 1,25 мэв; кривые 2 и 3 соответственно для энергий 1,17 и 1,33 мэв). Заштрихованная область соответствует выбору оптимальной толщины коллиматора. Для экспериментальных и теоретических данных область примерно одна и та же.

На рис. 3 приведены спектрограммы  $\text{Co}^{60}$ , снятые при разных коллиматорах (спектрограммы нормированы по основным фотопикам). Ясно видно, что различие между спектрограммами становится меньше после значения  $b = 120$  мм. Таким образом, оптимальная толщина коллиматора для  $\text{Co}^{60}$  лежит в пределах 15—17 см.

## Выводы

1. Сделанные расчеты позволяют выбрать оптимальные размеры коллиматора для каждой конкретной энергии гамма-квантов.
2. При геометрии эксперимента, указанной на рис. 1 а, можно вводить поправки на проницаемость при расчетах общей активности излучателя.

## ЛИТЕРАТУРА

1. «Nucleonics» 14, N 11, 1956. J. A. W. van der Doeck de Bye стр. 128.
2. «Phys. Med. Biol.» 1965 vol 10. No 1, стр. 51—65. By A. D. Rotenberg Pn D. t. and H. E. Jons. Pn. L. F. D. S. C.
3. К. Л. Столярова. Прикладная спектрометрия ионизирующих излучений. М., Атомиздат, 1964.